



Especificações:

Potência Max por elemento 5 Kw em 1-5/8"
 Ganho Vide Tabela
 Faixa de Frequência..... 76,1 a 107,9 MHz
 Polarização..... Circular direita
 Circularidade..... < 1,5 dB (espaço livre)
 Diagrama vertical..... Sob Demanda
 Impedância de entrada..... 50 ohms
 VSWR Max no canal..... 1,1 : 1
 Conector de entrada..... EIA1-5/8", 3 - 1/8", 4 - 1/16"
 Quantidade de Níveis..... 1,2,3,4,6,8,12

Ganho para componente de campo horizontal / vertical						
Modelo	AFCDL-1	AFCDL-2	AFCDL-3	AFCDL-4	AFCDL-6	AFCDL-8
Veze	0.46	0.97	1.44	1.95	2.99	3.98
dBd	-3.37	-0.13	1.58	2.90	4.76	6.00

Padrões de alimentação

Os sistemas podem ser fornecidos alimentados com linhas rígidas ou com divisor e cabos
 Sistemas com linhas rígidas construídos com alimentação central

Características Construtivas

Material Empregado:

Estrutura em Alumínio
 Fixadores em aço inox e isoladores em PTFE
 Estrutura de sustentação em aço galvanizado

Montagem:

Fornecida com suportes compatíveis com tubos de 3,5" a 10" em aço

Acabamento:

Pintura na cor laranja.

Acessórios:

Divisores de potência contruídos em latão e cobre com contatos internos prateados

Embalagem:

Caixa de madeira

Modelo:

AFCDL-(Nº NÍVEIS) - (FREQUÊNCIA) - (POTÊNCIA)

Características Mecânicas

- A Altura da antena em mm
- C Centro de radiação em mm
- P Peso médio da antena em Kg
- AE Área de exposição (CaAc) da antena em m²

Modelo >	AFCD-1				AFCD-2				AFCD-3				AFCD-4				AFCD-5				AFCD-6			
Frequência	A	C	P	AE	A	C	P	AE	A	C	P	AE	A	C	P	AE	A	C	P	AE	A	C	P	AE
76.1 a 77.9	350	175			4253	2126			8156	4078			12058	6029			15961	7981			19864	9932		
78.1 a 80.9	350	175			4153	2076			7956	3978			11758	5879			15561	7781			19364	9682		
80.1 a 81.9	350	175			4058	2029			7766	3883			11474	5737			15181	7591			18889	9445		
82.1 a 83.9	350	175			3968	1984			7585	3793			11203	5601			14820	7410			18438	9219		
84.1 a 85.9	350	175			3882	1941			7413	3707			10945	5472			14476	7238			18008	9004		
86.1 a 87.9	350	175			3799	1900			7249	3624			10698	5349			14148	7074			17597	8799		
88.1 a 89.9	350	175			3721	1861			7092	3546			10464	5232			13835	6917			17206	8603		
90.1 a 91.9	350	175	4	0,15	3646	1823	11,5	0,43	6943	3471	18,4	0,71	10239	5120	25,3	0,99	13535	6768	32,0	1,27	16832	8416	39,0	1,55
92.1 a 93.9	350	175			3575	1787			6800	3400			10024	5012			13249	6625			16474	8237		
94.1 a 95.9	350	175			3506	1753			6662	3331			9819	4909			12975	6487			16131	8066		
96.1 a 97.9	350	175			3441	1720			6531	3266			9622	4811			12712	6356			15803	7901		
98.1 a 99.9	350	175			3378	1689			6405	3203			9433	4716			12460	6230			15488	7744		
100.1 a 101.9	350	175			3317	1659			6284	3142			9251	4626			12218	6109			15185	7593		
102.1 a 103.9	350	175			3259	1629			6168	3084			9077	4538			11986	5993			14895	7447		
104.1 a 105.9	350	175			3203	1602			6056	3028			8909	4455			11762	5881			14615	7308		
106.1 a 107.9	350	175			3149	1575			5948	2974			8748	4374			11547	5773			14346	7173		

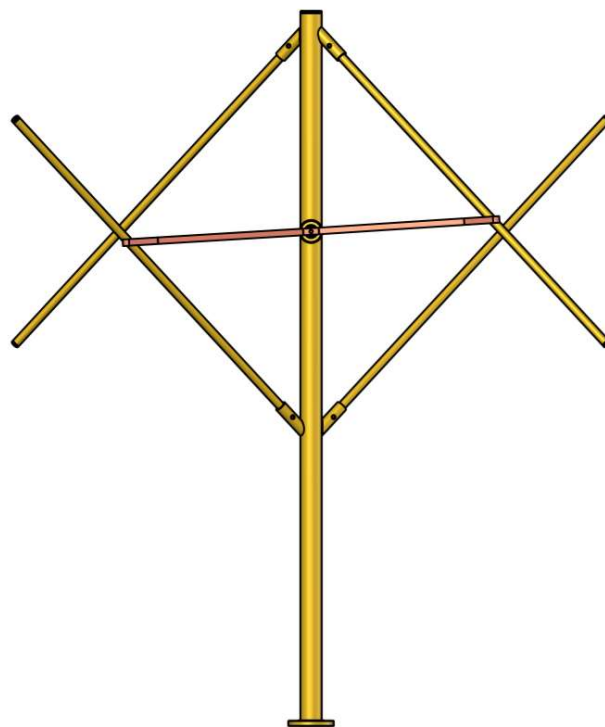
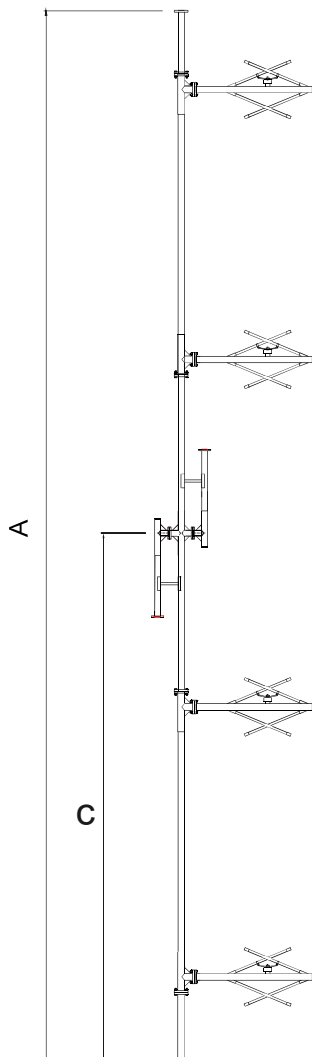
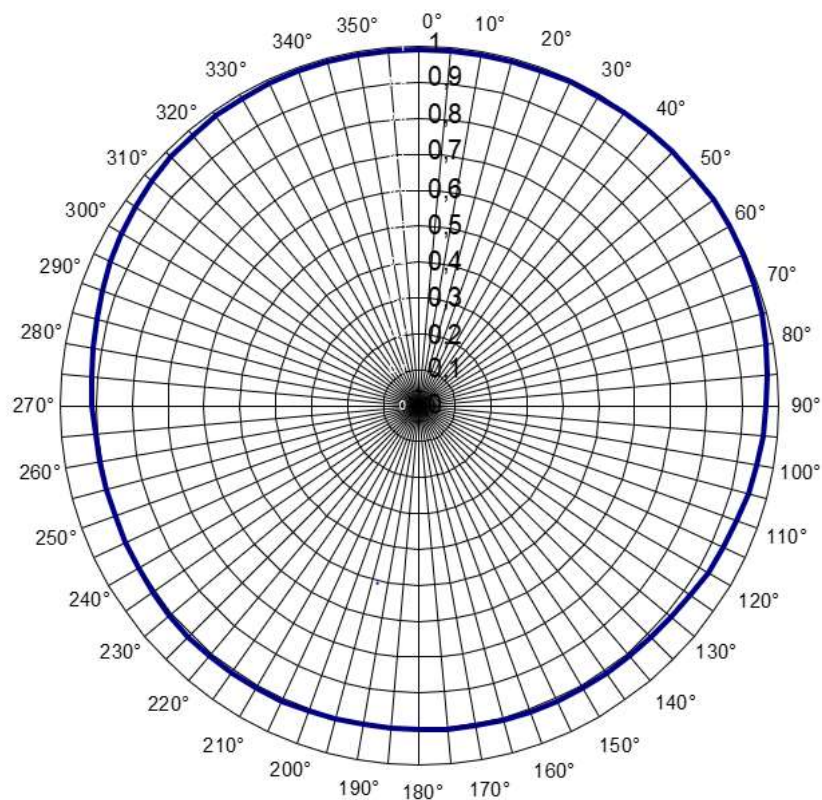


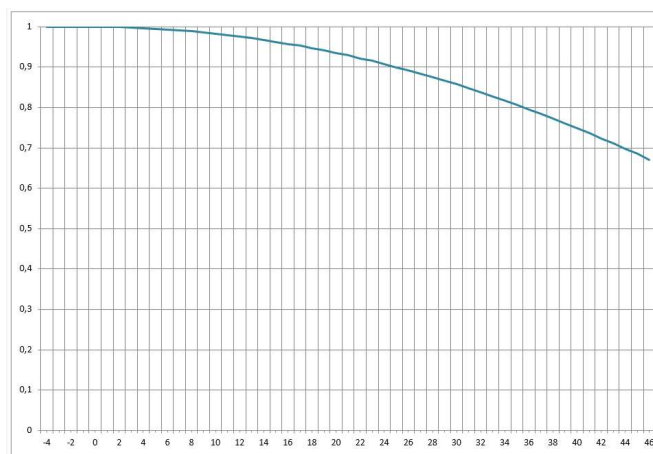
Diagrama de Radiação Horizontal - Pol. Circular - escala E/Emax



Graus	E/Emax	(dB)	(%)	Graus	E/Emax	(dB)	(%)	Graus	E/Emax	(dB)	(%)	Graus	E/Emax	(dB)	(%)
0°	0,9896919	-0,09	97,95%	90°	0,9671637	-0,29	93,54%	180°	0,9015711	-0,9	81,28%	270°	0,9109615	-0,81	82,99%
5°	0,9896919	-0,09	97,95%	95°	0,9616123	-0,34	92,47%	185°	0,9005338	-0,91	81,10%	275°	0,9172759	-0,75	84,14%
10°	0,9896919	-0,09	97,95%	100°	0,9549926	-0,4	91,20%	190°	0,9005338	-0,91	81,10%	280°	0,9236342	-0,69	85,31%
15°	0,9908319	-0,08	98,17%	105°	0,9484185	-0,46	89,95%	195°	0,9026097	-0,89	81,47%	285°	0,9311079	-0,62	86,70%
20°	0,9919733	-0,07	98,40%	110°	0,9418896	-0,52	88,72%	200°	0,9036495	-0,88	81,66%	290°	0,9397233	-0,54	88,31%
25°	0,9931116	-0,06	98,63%	115°	0,9354057	-0,58	87,50%	205°	0,906776	-0,85	82,22%	295°	0,9484185	-0,46	89,95%
30°	0,9942601	-0,05	98,86%	120°	0,9289664	-0,64	86,30%	210°	0,9088663	-0,83	82,60%	300°	0,9571941	-0,38	91,62%
35°	0,9954054	-0,04	99,08%	125°	0,9215099	-0,71	84,92%	215°	0,9099133	-0,82	82,79%	305°	0,9660509	-0,3	93,33%
40°	0,9965521	-0,03	99,31%	130°	0,9162205	-0,76	83,95%	220°	0,9109615	-0,81	82,99%	310°	0,9727472	-0,24	94,62%
45°	0,9988494	-0,01	99,77%	135°	0,9130614	-0,79	83,37%	225°	0,9099133	-0,82	82,79%	315°	0,978363	-0,19	95,72%
50°	1	0	100,00%	140°	0,9109615	-0,81	82,99%	230°	0,9088663	-0,83	82,60%	320°	0,9817479	-0,16	96,38%
55°	1	0	100,00%	145°	0,9099133	-0,82	82,79%	235°	0,906776	-0,85	82,22%	325°	0,9851446	-0,13	97,05%
60°	0,9988494	-0,01	99,77%	150°	0,9099133	-0,82	82,79%	240°	0,9046904	-0,87	81,85%	330°	0,9874156	-0,11	97,50%
65°	0,9965521	-0,03	99,31%	155°	0,9099133	-0,82	82,79%	245°	0,9026097	-0,89	81,47%	335°	0,9896919	-0,09	97,95%
70°	0,9931116	-0,06	98,63%	160°	0,9099133	-0,82	82,79%	250°	0,9015711	-0,9	81,28%	340°	0,9896919	-0,09	97,95%
75°	0,9874156	-0,11	97,50%	165°	0,9078205	-0,84	82,41%	255°	0,9015711	-0,9	81,28%	345°	0,9908319	-0,08	98,17%
80°	0,9806183	-0,17	96,16%	170°	0,9057326	-0,86	82,04%	260°	0,9036495	-0,88	81,66%	350°	0,9908319	-0,08	98,17%
85°	0,9738678	-0,23	94,84%	175°	0,9036495	-0,88	81,66%	265°	0,906776	-0,85	82,22%	355°	0,9896919	-0,09	97,95%

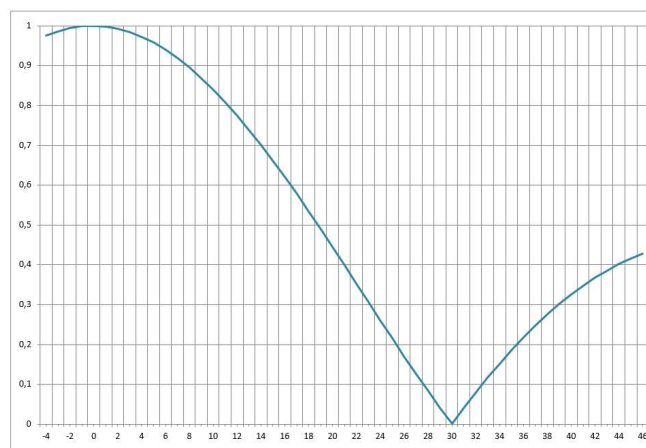
Elevação 1 Nível

Graus	dB	E/E _{max}	Graus	dB	E/E _{max}
0	0,00	1,00	11	-0,18	0,98
1	-0,01	1,00	12	-0,22	0,97
2	-0,01	1,00	13	-0,25	0,97
3	-0,02	1,00	14	-0,29	0,97
4	-0,03	1,00	15	-0,33	0,96
5	-0,05	0,99	16	-0,38	0,96
6	-0,06	0,99	17	-0,42	0,95
7	-0,08	0,99	18	-0,47	0,95
8	-0,10	0,99	19	-0,53	0,94
9	-0,13	0,99	20	-0,58	0,94
10	-0,16	0,98	21	-0,64	0,93



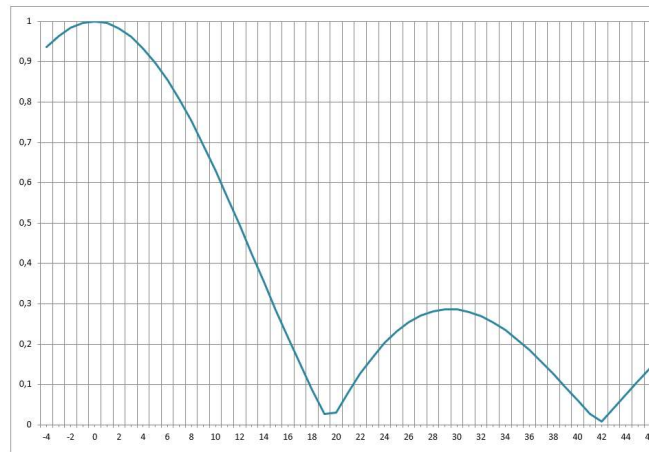
Elevação 2 Níveis

Graus	dB	E/E _{max}	Graus	dB	E/E _{max}
0	0,00	1,00	11	-1,85	0,81
1	-0,02	1,00	12	-2,22	0,77
2	-0,06	0,99	13	-2,63	0,74
3	-0,14	0,98	14	-3,09	0,70
4	-0,24	0,97	15	-3,59	0,66
5	-0,37	0,96	16	-4,15	0,62
6	-0,54	0,94	17	-4,77	0,58
7	-0,73	0,92	18	-5,45	0,53
8	-0,96	0,90	19	-6,20	0,49
9	-1,22	0,87	20	-7,04	0,44
10	-1,52	0,84	21	-7,98	0,40



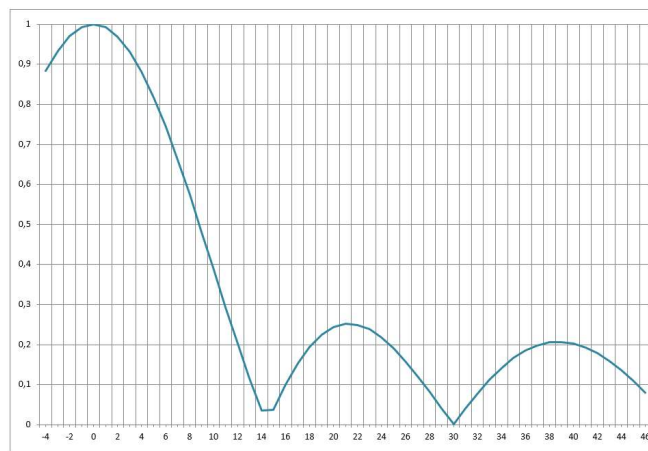
Elevação 3 Níveis

Graus	dB	E/E _{max}	Graus	dB	E/E _{max}
0	0,00	1,00	11	-4,99	0,56
1	-0,04	1,00	12	-6,12	0,49
2	-0,15	0,98	13	-7,44	0,42
3	-0,34	0,96	14	-9,01	0,35
4	-0,60	0,93	15	-10,92	0,28
5	-0,94	0,90	16	-13,31	0,22
6	-1,36	0,86	17	-16,50	0,15
7	-1,87	0,81	18	-21,30	0,09
8	-2,48	0,75	19	-31,67	0,03
9	-3,19	0,69	20	-30,53	0,03
10	-4,02	0,63	21	-21,84	0,08



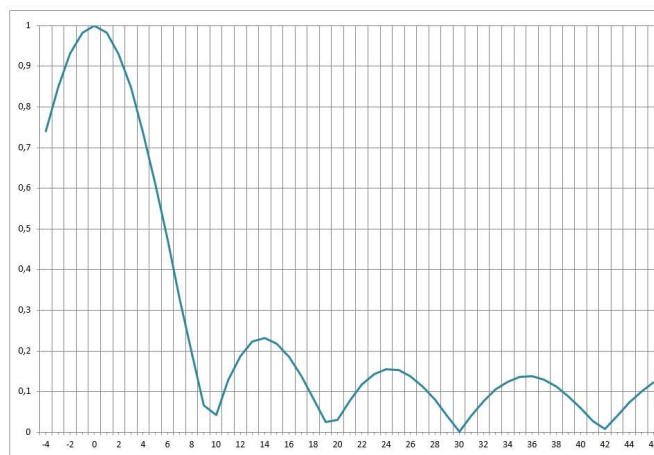
Elevação 4 Níveis

Graus	dB	E/E _{max}	Graus	dB	E/E _{max}
0	0,00	1,00	11	-10,66	0,29
1	-0,07	0,99	12	-13,90	0,20
2	-0,27	0,97	13	-18,78	0,12
3	-0,62	0,93	14	-29,17	0,03
4	-1,10	0,88	15	-28,55	0,04
5	-1,75	0,82	16	-19,98	0,10
6	-2,57	0,74	17	-16,32	0,15
7	-3,58	0,66	18	-14,23	0,19
8	-4,82	0,57	19	-12,97	0,22
9	-6,35	0,48	20	-12,27	0,24
10	-8,25	0,39	21	-11,98	0,25



Elevação 6 Níveis

Graus	dB	E/E _{max}	Graus	dB	E/E _{max}
0	0,00	1,00	11	-17,88	0,13
1	-0,16	0,98	12	-14,51	0,19
2	-0,63	0,93	13	-13,06	0,22
3	-1,44	0,85	14	-12,72	0,23
4	-2,63	0,74	15	-13,25	0,22
5	-4,28	0,61	16	-14,65	0,19
6	-6,52	0,47	17	-17,16	0,14
7	-9,64	0,33	18	-21,53	0,08
8	-14,34	0,19	19	-31,69	0,03
9	-23,61	0,07	20	-30,56	0,03
10	-27,52	0,04	21	-22,09	0,08



Elevação 8 Níveis

Graus	dB	E/E _{max}	Graus	dB	E/E _{max}
0	0,00	1,00	11	-13,31	0,22
1	-0,28	0,97	12	-15,17	0,17
2	-1,14	0,88	13	-19,22	0,11
3	-2,65	0,74	14	-29,21	0,03
4	-4,99	0,56	15	-28,61	0,04
5	-8,55	0,37	16	-20,45	0,09
6	-14,49	0,19	17	-17,63	0,13
7	-31,92	0,03	18	-16,90	0,14
8	-19,80	0,10	19	-17,71	0,13
9	-14,62	0,19	20	-20,23	0,10
10	-13,05	0,22	21	-25,77	0,05

